

## 上调 microRNA-101 沉默 EZH2 基因表达对人膀胱癌 T24 细胞系增殖和凋亡的影响

王海峰<sup>1)</sup>, 杨 宏<sup>2)</sup>, 胡礼炳<sup>2)</sup>, 霍 倩<sup>1)</sup>, 雷永虹<sup>2)</sup>, 秦 扬<sup>2)</sup>, 李 俊<sup>2)</sup>, 毕城伟<sup>2)</sup>

(1) 昆明医科大学第二附属医院泌尿外科, 云南昆明 650101; 2) 昆明医科大学第三附属医院泌尿外科, 云南昆明 650118)

**[摘要]** 目的 探讨 microRNA-101 抑制靶基因 EZH2 对膀胱癌细胞增殖和凋亡的影响。方法 构建靶向 EZH2 基因的 microRNA-101 质粒并转染至人膀胱癌细胞中, 采用 RT-PCR 法检测 EZH2 mRNA 的表达情况, 利用四甲基偶氮唑盐 (MTT) 检测细胞增殖抑制, 通过 Annexin V-FITC/PI 流式细胞术实验观察转染后细胞的凋亡情况。结果 microRNA-101 阳性对照组 EZH2 mRNA 较阴性对照组和空白对照组表达下降 ( $P < 0.05$ ) ; 在转染 5 d 后, 其生长抑制率明显高于对照组 ( $P < 0.01$ ) ; microRNA-101 组较阴性对照组及空白对照组 G0/G1 期细胞数明显增多, S 期细胞数明显减少, 凋亡率增加 ( $P < 0.01$ ) 。结论 上调 microRNA-101 可抑制 EZH2 基因的表达, 并有效的抑制人膀胱癌细胞的增殖, 促进其凋亡, 为深入研究膀胱癌的基因治疗提供理论依据。

**[关键词]** 膀胱癌; EZH2 基因; microRNA-101; 增殖; 凋亡

**[中图分类号]** R737.14 **[文献标识码]** A **[文章编号]** 2095-610X (2014) 09-0023-05

## Effects on Cell Proliferation and Apoptosis of Human Bladder Cancer Cells by Up-regulating the Expression of MiRNA-101 Silence Gene EZH2

WANG Hai-feng<sup>1)</sup>, YANG Hong<sup>2)</sup>, HU Li-bing<sup>2)</sup>, HUO Qian<sup>1)</sup>, LEI Yong-hong<sup>2)</sup>, QIN Yang<sup>2)</sup>, LI Jun<sup>2)</sup>, BI Cheng-wei<sup>2)</sup>

(1) Dept. of Urinary Surgery, The 2nd Affiliated Hospital of Kunming Medical University, Kunming Yunnan 650101; 2) Dept. of Urinary Surgery, The 3rd Affiliated Hospital of Kunming Medical University, Kunming Yunnan 650118, China)

**[Abstract]** Objective To investigate the effects of inhibiting enhancer of zeste homolog 2 (EZH2) on cell proliferation and apoptosis by up-regulating the expression of miRNA-101 in bladder cancer cells. Methods The microRNA-101-expressing plasmid targeting EZH2 gene was constructed and transferred into T24 cells. RT-PCR was used to detect the expression of EZH2 mRNA. The proliferation of T24 cells was detected in vivo by MTT, and cell apoptosis was observed by Annexin V-FITC/PI flow cytometric analysis. Results The siRNA-expressing plasmid targeting EZH2 gene successfully inhibited the expression of EZH2 in T24 cells. Compared with control groups, the expression of mRNA in the positive group was significantly inhibited ( $P < 0.05$ ) . After plasmid transfection of 5 days, the cell proliferative activity was significantly lower in the miRNA-101 mimics group than that in the negative control group and blank control group ( $P < 0.01$ ) . In the miRNA-101 mimics group, cells increased significantly at G0/G1 phase [(80.12 ± 7.8) %,  $P < 0.01$ ], while decreased at S phase [(11.50 ± 1.2) %,  $P < 0.01$ ] . And the expression of EZH2 mRNA was down-regulated ( $P < 0.01$ ) . Conclusion The

---

[基金项目] 云南省科技厅 - 昆明医科大学联合专项基金资助项目 (2011FB202)

[作者简介] 王海峰 (1982~), 男, 辽宁朝阳市人, 医学博士, 主治医师, 主要从事泌尿外科临床、教学及科研工作.

[通讯作者] 杨宏. E-mail:yanghong0216@126.com

microRNA-101 silencing EZH2 can significantly inhibit cell proliferation of T24 cells and promote its apoptosis. It provides a theoretical basis for further study of bladder cancer gene therapy.

[Key words] Bladder cancer; EZH2; MicroRNA-101; Proliferation; Apoptosis

MicroRNAs (miRNAs) 是一类长度为 19~25nt 的非编码单链小 RNA, 它在细胞分裂、分化、迁移、凋亡等不同的生物学过程中发挥着重要的调节作用<sup>[1]</sup>. miRNAs 通过与靶基因 mRNA 的 3' 末端非翻译区 (3' -UTR) 完全或非完全互补结合, 导致 mRNA 降解或抑制蛋白表达, 具有癌基因或抑癌基因的功能, 从而广泛参与肿瘤的发生、发展及侵袭转移<sup>[2]</sup>. 其中 microRNA-101 与人类肿瘤的发生发展关系密切, 在肝癌<sup>[3]</sup>、胃癌<sup>[4]</sup>、非小细胞肺癌<sup>[5]</sup>等多种肿瘤中呈低表达, 在正常组织中呈高表达. microRNA-101 对癌基因 EZH2 有负调控作用, 在肿瘤中发挥着抑癌基因的作用.

本研究设计构建 microRNA-101 模拟体转染膀胱癌 T24 细胞, 观察 microRNA-101 对膀胱癌细胞增殖及凋亡的影响, 旨在为膀胱癌的基因治疗寻找新的靶点提供理论依据.

## 1 材料与方法

### 1.1 材料与试剂

膀胱癌 T24 细胞株由昆明医科大学重点实验室保存, RPMI1640 培养基、胎牛血清、0.25% 胰蛋白酶 -EDTA、DPBS、Lipo 2000 转染试剂、TRIZOL、Ncode™ VILO miRNA cDNA Synthesis Kit、EXPRESS SYBR® GreenER™ miRNA qRT-PCR Kits 购自美国 Invitrogen 公司, DMSO 购自美国 Amersco 公司, EZH2 抗体购自美国 Abcam 公司, EZH2 siRNA 套装购于广州锐博生物公司, PVDF 膜购于美国 Millipore 公司.

### 1.2 实验方法

**1.2.1 细胞培养** 膀胱癌癌细胞株 T24 分别在含 10% 胎牛血清的 90% RPMI 1 640 培养基中, 于 37℃、5% CO<sub>2</sub> 饱和湿度培养箱中培养. 如果细胞未长满, 用 75% 酒精喷洒整个瓶进行消毒, 然后放到无菌台内, 严格无菌操作, 打开细胞培养瓶, 吸出培养液, 仅留下 10 mL 培养液在瓶内继续培养. 并将培养好的细胞按照每孔  $0.5 \times 10^4$ ~ $1.0 \times 10^4$  个细胞浓度接种在 96 孔板及每孔  $1.0 \times 10^5$ ~ $1.5 \times 10^5$  个细胞浓度接种在 6 孔板, 分为 microRNA-101 阳性对照组、FAM 阴性对照组和空白对照组.

**1.2.2 重组质粒构建及转染** 利用 miRBase 信息数据库找到人源 miRNA-101 前体 (pre-microRNA-101) 的 DNA 寡核酸序列: 5'-tG-CCGtGGCtCAGttAtCACAGtGCtGAtGCtGtCtAttC-tAAAGGtACAGtACtGtGtAACtGAAGGAtGGCA-3', 经酶切、溶解、加热、退火等处理后获得双链的 pre-microRNA-101 插入片段 5'-TACAGTACTGTG-ATAACTGAA-3', 阴性对照序列 FAM 序列为 5'-UUCUCCGAACGUGUCACGUU-3'. 将其合成序列插入到 PGenesil-1.1 质粒构建重组体, 并转化至大肠埃希菌 DH5 $\alpha$  感受态细胞中. 分别挑取菌落接种至含 4 mg/mL 新霉素的 RPMI1640 培养基培养, 再使用碱裂解法抽提质粒, 并行酶切鉴定和测序分析. 转染按照 Lipofectamine™ 2000 脂质体转染试剂盒说明书的要求进行, 每孔 siRNA 为 4  $\mu$ g, Lipofectamine™ 2000 的用量为 10  $\mu$ L, 转染后置入 CO<sub>2</sub> 培养箱, 6 h 后换液, 继续培养 48~72 h 后收集细胞.

**1.2.3 转染后 RNA 提取及实时荧光定量 PCR** 收集转染 48 h 后的 T24 细胞, 按天根 DP431 试剂使用说明书提取细胞的总 RNA, 经检测浓度和完整性后, 按反转录试剂盒使用说明操作先逆转录生成 cDNA, 再以各组 cDNA 为模板对 EZH2 基因和内参  $\beta$ -Action 进行实时荧光定量 PCR 反应. 每 1 个样品均做 3 个重复反应. 同时设无模板对照. 在荧光定量 PCR 仪上进行检测. 反应条件: 95 ℃ 15 s; 95 ℃ 5 s、60 ℃ 60 s, 30 个循环; 扩增完毕后进行熔解曲线分析: 95 ℃ 15 s, 60 ℃ 30 s, 72 ℃ 30 s. 对扩增产物进行琼脂糖凝胶电泳分析特异性. 根据相对定量  $2^{-\Delta\Delta C_t}$  方法计算各组 EZH2 mRNA 表达水平的相对比值.

**1.2.4 MTT 法检测细胞增殖情况** 传至 4 至 6 代的 T24 细胞生长至 90% 时, 用 0.25% 胰蛋白酶 -0.53 mM EDTA 消化液消化后计数, 按  $2 \times 10^3$  细胞 / 孔的浓度接种 96 孔板, 置 37 ℃, 5% CO<sub>2</sub> 培养箱中培养 18 h. 更新新鲜培养基后培养 2 h, 转染 miRNA-101 进细胞. 24 h 后开始检测设置调零孔, 对照孔, 每组设置 3 复孔. 置 37 ℃, 5% CO<sub>2</sub> 培养箱中培养 30 min. 离心弃去上清, 加入含 500  $\mu$ g/mL MTT 的 DMEM/F12 培养基. 继续培养 4 h. 离心弃上清, 用 150  $\mu$ L DMSO 溶解甲瓒, 待充分

溶解后, 用酶标仪检测各孔 490 nm 吸光度。每组细胞测 3 个孔, 取平均值, 每隔 12 h 检测 1 次, 连续检测 72 h, 绘制细胞生长曲线。

$$\text{抑制率} (\%) = \frac{(1 - \frac{\text{实验组 OD 值}}{\text{对照组 OD 值}})}{\text{对照组 OD 值}} \times 100$$

**1.2.5 流式细胞术检测细胞凋亡情况** 用不含 EDTA 的胰酶消化收集培养及转染 24 h 后的 T24 细胞, 离心、洗涤后加入 500 μL 的 Binding Buffer 悬浮细胞, 接着先加入 5 μL Annexin V-FITC 混匀后, 加入 5 μL Propidium Iodide, 混匀, 室温、避光、反应 5~15 min 后进行流式细胞仪的检测。

### 1.3 统计学方法

以上实验均采用 SPSS 统计包进行统计学处理, 结果以均数 ± 标准差 ( $\bar{x} \pm s$ ) 表示, 采用方差分析, 组间比较采用 S-N-K 法 ( $q$  检验)。检验水准  $\alpha = 0.05$ 。

## 2 结果

### 2.1 miRNA-101 对 EZH2 mRNA 表达的影响

T24 细胞转染 miRNA-101 后, 经实时荧光定量 PCR 检测 EZH2 的 mRNA 表达, RT-PCR 结果示: 空白对照组 ( $1.912 \pm 0.015$ )、阴性对照组 ( $1.732 \pm 0.025$ )、miRNA-101 阳性对照组 ( $0.857 \pm 0.011$ ) ; 阴性对照组和空白对照组细胞 EZH2 表达均高于 miRNA-101 阳性对照组, 差异有统计学意义 ( $P < 0.05$ )。阴性对照组与空白对照组相比较, 差异不统计学意义 ( $P > 0.05$ ), 见图 1。

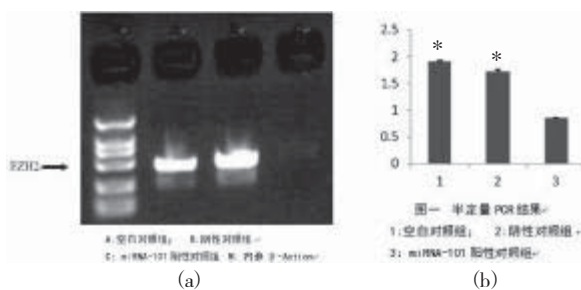


图 1 半定量 PCR 检测 miRNA-101 对 EZH2 mRNA 表达的影响

Fig. 1 Effect of miRNA-101 on the EZH2 mRNA expression detected by semi-quantitative PCR

与阳性对照组比较,  $*P < 0.05$ 。

### 2.2 EZH2 表达沉默对 T24 细胞增殖活性的影响

MTT 检测法结果示: miRNA-101 阳性对照组细胞从转染后 72 h 起, 细胞的增殖的速度变得缓慢, 其明显慢于阴性对照和空白对照组。到达第 5 天时其增殖率分别为 14.8%、28.1% 和 29.6%, 差异有统计学意义 ( $P < 0.01$ ), 见图 2。

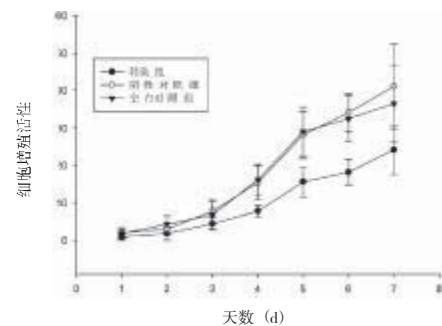


图 2 MTT 检测 miRNA-101 对 T24 细胞增殖能力的影响

Fig. 2 Effect of miRNA-101 on the proliferative capability of T24 cells by MTT

### 2.3 EZH2 表达沉默对 T24 细胞凋亡的影响

Annexin-v/Pi 双染, 流式细胞仪分析细胞周期结果, 发现转染 48 h 后 miRNA-101 阳性对照组 G0/G1 期细胞数为 ( $80.12 \pm 7.8$ ) %, 较阴性对照组 ( $65.35 \pm 3.5$ ) % 及空白对照组 ( $64.89 \pm 3.4$ ) % 显著增高 ( $P < 0.01$ ) ; miRNA-101 阳性对照组 S 期细胞数 ( $11.50 \pm 1.2$ ) % 较阴性对照组 ( $22.64 \pm 3.2$ ) % 及空白对照组 ( $24.98 \pm 2.9$ ) % 明显减少 ( $P < 0.01$ )。而阴性对照组和空白对照组比较无明显差异 ( $P > 0.01$ ), 见图 3、4。

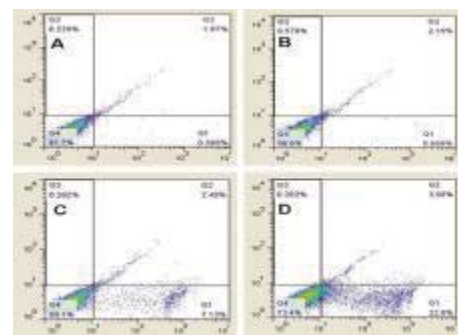


图 3 Annexin-v/Pi 双染法检测 miRNA-101 沉默对 T24 细胞凋亡的影响

Fig. 3 Effect of miRNA-101 silence on T24 cells apoptosis detected by Annexin V-FITC/PI flow cytometric analysis

A: 对照组 0 h; B: 试验组 0 h; C: 对照组 48 h; D: 试验组 48 h.

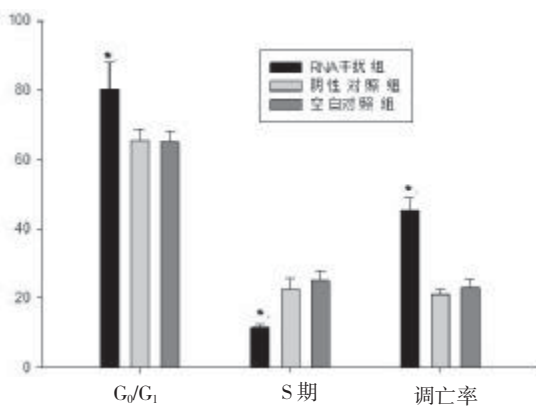


图4 膀胱癌T24细胞周期变化

**Fig. 4 Cell cycle changes of T24, The changes of T24 cells cycle in bladder cancer**

注: RNA干扰组较阴性对照组及空白对照组G<sub>0</sub>/G<sub>1</sub>期细胞数明显增多, S期细胞数明显减少,凋亡率增加, \*P<0.01。阴性对照和空白对照组细胞周期及凋亡率比较无明显差异。

### 3 讨论

miRNA是机体的一种位于基因组非编码区的内源性小分子RNA,本身不具有开放阅读框,它广泛存在于各种真核细胞中,miRNA基因先转录产生具有发卡结构的miRNA前体(precursor microRNA, pre-miRNA),核糖体核酸酶将初级产物切割成70个核苷酸序列,再被核糖核酸酶Ⅲ家族中特异识别双链RNA的一员Dicer酶以一种ATP依赖方式逐步切割成约22nt的双链RNA片段。这些小的miRNA通过与靶mRNA特异的碱基配对引起靶mRNA的降解或翻译抑制,在转录后水平调控基因表达,影响蛋白质的合成,从而调节细胞增殖、分化与凋亡,参与个体发育、机体代谢以及肿瘤的发生、发展等过程。

miRNAs与肿瘤密切相关,致癌miRNAs的负调控和染色体的缺失、增加及易位有关<sup>[6]</sup>。miRNAs在肿瘤中异常表达且具有组织特异性,不同肿瘤组织miRNAs表达谱不同<sup>[7]</sup>。Chen<sup>[8]</sup>等发现在胶质母细胞瘤中microRNA-203的表达高于正常脑组织。他们采用荧光定量PCR的方法在不同分期的胶质母细胞瘤中检测microRNA-203的表达,结果显示分化程度越高。miRNA-101是一类抑制肿瘤侵袭转移的miRNA,存在两个前提,分别位于人1号和9号染色体中,但成熟序列在各个物种中高度保守,目前已有报告证实MCL-1(抗凋亡BCL-2家族成员之一)和癌基因FOS、EZH2是其靶基因<sup>[9]</sup>。

果蝇的Enhancer of Zeste基因增强子人类同源物2(enhancer of zeste homolog, EZH2)是多梳基因

家族(polycomb group, PcG)的主要成员,是组蛋白H3第27位赖氨酸特异性的甲基化转移酶,通过沉默与细胞分化、抑制增殖相关的基因,而导致肿瘤的发生<sup>[9]</sup>。大量研究报道EZH2在多种恶性肿瘤组织和细胞中高表达,如非小细胞肺癌<sup>[5]</sup>、结肠癌<sup>[10]</sup>、前列腺癌<sup>[11]</sup>等。

当miRNA-101与靶基因EZH2结合,降解EZH2 mRNA,抑制EZH2表达,可致肿瘤细胞停滞于DNA合成前期,DNA合成减少,最终影响肿瘤细胞的增殖。目前在前列腺癌、肝细胞癌等多种肿瘤中发现miRNA-101表达下调,对EZH2基因具有负调控作用,说明miRNA-101与体外肿瘤细胞迁移、浸润、克隆形成和发生肿瘤密切相关<sup>[12,13]</sup>。

Smits<sup>[14]</sup>等发现在恶性胶质母细胞瘤(GBM)中,miR-101的下调可导致靶基因EZH2过表达并诱导细胞增殖、迁移和血管生成,因此miR-101可负调控靶基因EZH2从而抑制肿瘤侵袭转移。Hui-Ju Wang<sup>[14]</sup>等进行了体内体外实验来研究miR-101在胃癌中的作用机制,他们发现胃癌细胞与正常胃组织相比,miR-101的表达降低,将miR-101注射到MKN-45癌细胞株的裸鼠模型中,证实了在胃癌中miR-101具有抑制肿瘤的角色。

本研究通过上调microRNA-101沉默EZH2基因探讨其对膀胱癌T24细胞增殖和凋亡的影响。为了明确miR-101表达在T24细胞生物活性过程中的作用,本研究利用基因工程的手段在体外构建miR-101基因的表达载体,并将其转染入T24细胞,实现miR-101在膀胱癌细胞学水平上的研究,并采用实时荧光定量PCR检测EZH2 mRNA表达、MTT法测定细胞增殖活性、流式细胞技术检测细胞周期。实时荧光定量PCR检测经上调microRNA-101表达后,EZH2 mRNA表达与阴性对照组和空白对照组相比显著降低,证实癌基因EZH2为microRNA-101的靶基因,可以抑制EZH2基因表达。

肿瘤细胞的持续分裂与无限增殖能力是肿瘤恶性程度的重要标志。本研究通过细胞增殖实验分析上调microRNA-101沉默EZH2表达T24细胞增殖能力的变化,MTT检测结果显示随着时间的推移,呈明显抑制膀胱癌细胞增殖趋势;流式细胞技术检测结果显示多数细胞停滞在G<sub>0</sub>/G<sub>1</sub>期,S期DNA合成期细胞减少,使细胞增殖活性下降,生长周期减缓。本实验说明上调microRNA-101可抑制EZH2基因的表达,并有效的抑制人膀胱癌细胞的增殖,促进其凋亡。

综上所述, microRNA-101 与降低肿瘤发生、发展的能力密切相关, 并且可抑制 EZH2 基因的表达, 因此采用 microRNA-101 抑制靶向癌基因表达, 阻止肿瘤细胞增殖、侵袭能力, 并促进其凋亡, 对肿瘤基因治疗及预后判断具有重要意义; 如何高效地将 miRNA 转染到肿瘤细胞以及提高 miRNA 的器官靶向特异性是我们进一步需要解决的问题.

### [参考文献]

- [1] HWANG H W, MENDELL J T. MicroRNAs in cell proliferation, cell death, and tumorigenesis[J]. British Journal of Cancer, 2007, 96(Suppl):R40 – 44.
- [2] DENLI A M, TOPS B B, PLASTERK R H, et al. Processing of primary microRNAs by the Microprocessor complex [J]. Nature, 2004, 432(7 014):231 – 235.
- [3] SU H, YANG J R, XU T, et al. MicroRNA-101, down-regulated in hepatocellular carcinoma, promotes apoptosis and suppresses tumorigenicity[J]. Cancer Research, 2009, 69 (3):1 135 – 1 142.
- [4] WANG H J, RUAN H J, HE X J, et al. MicroRNA-101 is down-regulated in gastric cancer and involved in cell migration and invasion [J]. Eur J Cancer, 2010 , 46 ( 12 ): 2 295 – 2 303.
- [5] ZHANG H, ZHAO M, LV Z, et al. MiR-138 inhibits tumor growth through repression of EZH2 in non-small cell lung cancer[J]. Cell Physiol Biochem, 2013, 31(1):56 – 65.
- [6] HAMMOND S M. MicroRNAs as oncogenes[J]. Curr Opin Genet Dev, 2006, 16(1):4 – 9.
- [7] LU J, GETZ G, MISKA E A, et al. MicroRNA expression profiles classify human cancers [J]. Nature, 2005, 435 (7 043):834 – 838.
- [8] CHEN Z, LI D, CHENG Q, et al. MicroRNA-203 inhibits the proliferation and invasion of U251 glioblastoma cells by directly targeting PLD2 [J]. Mol Med Rep, 2013, 9 (2): 503 – 508.
- [9] CHANG C J, HUNG M C. The role of EZH2 in tumour progression[J]. British journal of cancer, 2012, 106(2):243 – 247.
- [10] FERRARO A, MOURTZOUKOU D, KOSMIDOU V, et al. EZH2 is regulated by ERK/AKT and targets integrin alpha2 gene to control Epithelial–Mesenchymal Transition and anoikis in colon cancer cells[J]. The international journal of biochemistry & cell biology, 2013, 45 (2):243 – 254.
- [11] SHIN Y J, KIM J H. The role of EZH2 in the regulation of the activity of matrix metalloproteinases in prostate cancer cells[J]. PLoS One, 2012, 7(1):e30 393.
- [12] CAO P, DENG Z, WAN M, et al. MicroRNA-101 negatively regulates Ezh2 and its expression is modulated by androgen receptor and HIF-1  $\alpha$ /HIF-1  $\beta$  [J]. Molecular Cancer, 2010, 9 (1):108.
- [13] CHIANG C W, HUANG Y, LEONG K W, et al. PKCalpha mediated induction of miR-101 in human hepatoma HepG2 cells[J]. Journal of Biomedical Science, 2010, 17(1):35.
- [14] SMITS M, NILSSON J, MIR S E, et al. miR - 101 is down-regulated in glioblastoma resulting in EZH2-induced proliferation, migration, and angiogenesis [J]. Oncotarget, 2010, 1(8):710 – 720.

(2014 – 06 – 21 收稿)